

## НЕКОТОРЫЕ ВОПРОСЫ ТЕХНОЛОГИИ ИЗГОТОВЛЕНИЯ ТРАЛОВ

В.Н.Советов

Одна из возможностей повышения технико-эксплуатационных показателей и снижения себестоимости орудий промышленного рыболовства - усовершенствование и оптимизация технологии их изготовления. Совершенный технологический процесс, основанный на глубоком изучении особенностей отдельных операций, их взаимосвязи и влияния на промысловые качества - залог производства высокоеффективных орудий лова при минимуме затрат труда и сетеобразующих материалов.

Основу технологии изготовления большинства сетных орудий лова составляют раскрой и посадка сетного полотна. От этих операций зависят почти все технико-эксплуатационные и промысловые показатели орудий лова, поэтому теория и практика раскroя и посадки сетного полотна в настоящее время изучены достаточно хорошо.

Советские и зарубежные ученые и специалисты (Алексеев, 1961, 1964, Баранов, 1960, Андреев, 1959, 1960, 1962; Войниканис-Мирский, 1952, 1961; Зонов, 1957, Попов, 1955, Трещев, 1959, Фридман, 1958, Старовойтов, 1964, 1966; Tauti, 1925; Kondo, 1959, 1960; Schlieker, 1963; Schmidt, 1961

и др.) исследовали влияние раскroя и посадки на уловистость и селективность орудий лова, на гидродинамическое качество и со-противление сетного полотна, на его форму, натяжение нитей и т.п., а также проблемы, связанные с теорией, расчетом и техникой раскroя и посадки сетных орудий лова.

Лабораторией рыболовных материалов и промысловой гидродинамики ВНИРО проводились исследования взаимосвязи коэффициентов посадки и циклов раскroя сетного полотна и их влияния на так называемые построечные и рабочие углы атаки сетных частей орудий лова.

## Угол резания и построочный угол атаки

Раскрой и посадка как технологические операции тесно связаны между собой требованием практики в части сохранения ромбической формы ячей и равнонапряженности нитей сетного полотна, так как невыполнение этого требования вызывает при эксплуатации орудия лова необратимые деформации и в конечном итоге разрывы сетного полотна.

Для установления аналитической зависимости параметров этих операций рассмотрим сетной треугольник - клин ABC(рис. I), гипотенуза которого является линией раскрыя сетного полотна по циклу

$$C_r = \frac{m-n}{2n} = \frac{1}{2} \left( \frac{m}{n} - 1 \right), \quad (I)$$

где  $C_r$  - цикл кройки;

$m, n$  - размеры катетов клина (в ячейках или метрах).

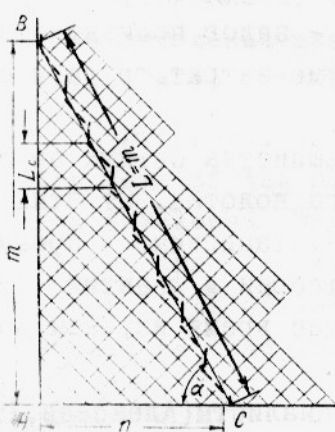


Рис. I. Раскрой сетного полотна по циклу  $C_r = \frac{m-n}{2n}$  - свой цикл раскрыя(табл.I). Уклон линии разреза сетного полотна в посадке с коэффициентами  $U_1$  и  $U_2$  равен

Если в формуле (I) отношение  $\frac{m}{n}$  принять равным  $\operatorname{tg} \alpha$ , где  $\alpha$  - угол резания(т.е. угол уклона линии разреза BC к горизонтали сетного полотна AC при равных коэффициентах посадки  $U_1 = U_2 = 0,71$  ), то

$$\begin{aligned} C_r &= \frac{1}{2} (\operatorname{tg} \alpha - 1), && \text{или} \\ \operatorname{tg} \alpha &= 2C_r + 1 && \text{откуда} \\ \alpha &= \arctg (2C_r + 1). && (2) \end{aligned}$$

Следовательно, каждому циклу раскрыя соответствует свой угол резания и наоборот, каждому углу резания - свой цикл раскрыя(табл.I). Уклон линии разреза сетного полотна в посадке с коэффициентами  $U_1$  и  $U_2$  равен

$$\operatorname{tg} \alpha' = \frac{2 \alpha m U_2}{2 \alpha n U_1} = \frac{m}{n} \cdot \frac{U_2}{U_1} = \operatorname{tg} \alpha \cdot \frac{U_2}{U_1}.$$

Обозначив  $\frac{U_2}{U_1}$  через  $J$  - коэффициент уклона, - получим

$$\operatorname{tg} \alpha' = J \cdot \operatorname{tg} \alpha, \quad (3)$$

$$\alpha' = \arctg (J \cdot \operatorname{tg} \alpha) \quad (3')$$

Таблица I

Углы резания и простейшие циклы кройки, наиболее часто применяемые при постройке орудий лова

Уклон клина $i = m/n$ (при $U_1 = U_2$ )	Угол резания $\alpha$	Цикл кройки $C_r = \frac{m-n}{2n}$	Уклон клина $i = m/n$ (при $U_1 = U_2$ )	Угол резания $\alpha$	Цикл кройки $C_r = \frac{m-n}{2n}$
I,00	45°00'	По диагонали	3,00	71°34'	$\frac{I}{I}$
I,20	50°00'	$\frac{I}{10}$	3,50	74°03'	$3\frac{I}{I} + \frac{2}{I}$
I,22	50°42'	$\frac{I}{9}$	4,33	77°00'	$2\frac{2}{I} + \frac{I}{I}$
I,24	51°07'	$2\frac{1}{8} + \frac{I}{9}$	5,00	78°41'	$\frac{2}{I}$
I,25	51°20'	$\frac{I}{8}$	6,00	80°32'	$\frac{2}{I} + \frac{3}{I}$
I,29	52°08'	$\frac{I}{7}$	7,00	80°52'	$\frac{3}{I}$
I,30	52°30'	$2\frac{I}{7} + \frac{I}{6}$	9,00	83°40'	$\frac{4}{I}$
I,33	53°07'	$\frac{I}{6}$	9,33	83°53'	$5\frac{4}{I} + \frac{5}{I}$
I,40	54°30'	$\frac{I}{5}$	II,00	84°48'	$\frac{5}{I}$
I,50	56°19'	$\frac{I}{4}$	I3,00	85°36'	$\frac{6}{I}$
I,60	58°00'	$2\frac{I}{3} + \frac{I}{4}$	I5,00	86°II'	$\frac{7}{I}$
I,67	59°02'	$\frac{I}{3}$	I6,I6	86°27'	$\frac{7}{I} + \frac{8}{I}$
I,75	60°15'	$2\frac{I}{3} + \frac{I}{2}$	I7,00	86°38'	$\frac{8}{I}$
I,80	61°00'	$\frac{I}{3} + \frac{I}{2}$	I9,00	86°59'	$\frac{9}{I}$
2,00	63°30'	$\frac{I}{2}$	2I,00	87°I6'	$\frac{10}{I}$
2,33	66°47'	$\frac{I}{I} + \frac{I}{2}$			

Соответствующий углу уклона  $\alpha'$  угол  $\beta = 90^\circ - \alpha'$  условно можно назвать построенным углом атаки, так как он представляет собой угол между продольной (шивной, топенантной) кромкой сетного полотнища в посадке и продольной осью тралирующего орудия лова.

Подставив значение  $\operatorname{tg}\alpha = 2C_r + 1$  в уравнение (3), после некоторых преобразований получим

$$C_r = \frac{1}{2} \left( \frac{\operatorname{tg}\alpha'}{J} - 1 \right), \quad (4)$$

учитывая, что  $\operatorname{tg}\alpha' = \operatorname{ctg}\beta$ ;  $\beta = \arccos\operatorname{tg}[(2C_r + 1)J]$ .  $(4')$

Уравнение  $(4')$  аналитически связывает между собой построенный угол атаки  $\beta$ , цикл кройки  $C_r$  и коэффициент уклона, равный отношению коэффициентов посадки по вертикали и горизонтали  $J = \frac{U_2}{U_1}$  (табл.2)

Таблица 2  
Коэффициент уклона  $J$  в зависимости  
от коэффициента посадки  $U_2$ .

$U_2$	0,00	0,01	0,02	0,03	0,04	0,05	0,06	0,07	0,08	0,09
0,1	0,101	0,111	0,121	0,132	0,142	0,152	0,162	0,174	0,184	0,194
0,2	0,220	0,215	0,225	0,237	0,248	0,258	0,268	0,282	0,292	0,302
0,3	0,316	0,326	0,338	0,350	0,362	0,376	0,388	0,398	0,413	0,423
0,4	0,435	0,450	0,461	0,478	0,488	0,505	0,517	0,533	0,546	0,563
0,5	0,575	0,593	0,612	0,623	0,643	0,655	0,674	0,696	0,716	0,729
0,6	0,750	0,772	0,795	0,820	0,842	0,855	0,881	0,905	0,932	0,958
0,7	0,988	0,010	1,040	1,071	1,105	1,135	1,168	1,201	1,235	1,292
0,8	1,331	1,371	1,435	1,480	1,554	1,605	1,682	1,775	1,870	1,933
0,9	2,030	2,161	2,360	2,505	2,760	3,061	3,421	4,030	4,900	7,070

#### Посадка косых кромок сетного полотнища

Для расчета коэффициента посадки  $U_3$  наклонной кромки – гипотемузы клина из треугольника ABC (рис. I) – находим

$$BC^2 = AB^2 + AC^2 = (2amU_2)^2 + (2anU_1)^2 = (2amU_3)^2$$

Разделив обе части равенства на  $(2am)^2$ , получим

$$U_3^2 = U_2^2 + \left(\frac{n}{m} \cdot U_1\right)^2 = U_2^2 + (U_1 \cdot \operatorname{ctg}\alpha)^2;$$

$$U_3^2 = U_2^2 + U_1^2 \cdot \operatorname{ctg}^2\alpha,$$

(5)

$$\text{или } U_3 = \sqrt{U_2^2 + \left(\frac{U_1}{2C_r + 1}\right)^2}. \quad (5')$$

Зависимость коэффициента посадки по наклонной кромке  $U_3$  от угла резания  $\alpha$  при различных значениях двух других коэффициентов  $U_2$  и  $U_1$ , показана на рис.2, из которого следует, что при  $m > n$  чем меньше угол резания  $\alpha = \arctg(2C_r + 1)$ , тем меньше усадка дели на наклонной кромке ( $U_3 \rightarrow 1$ ). При  $\alpha = 45^\circ$ , когда стороны клина равны, т.е.  $m = n$  и срезаются только диагональные нити, коэффициент  $U_3$  равен единице независимо от коэффициентов  $U_2$  и  $U_1$ .

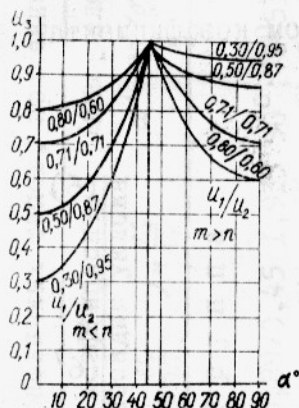


Рис.2. График зависимости коэффициента посадки наклонной сетной кромки  $U_3$  от угла резания

пределах от 0 до  $1/2$ , причем с увеличением отношения  $U_1/U_2$  этот перепад также увеличивается.

Зависимость коэффициента посадки  $U_3$  от цикла кройки  $C_r$  при заданных коэффициентах  $U_2$  и  $U_1$  изображена на рис.3.

Кривая  $U_3 = f(C_r)$  асимптотически приближается к прямой  $y = U_2 = \text{const.}$

Максимальное значение  $U_3$ , равное единице, имеет место при  $C_r = 0$ , т.е. когда две стороны выкраиваемого клина равны и клин кроится по диагонали.

Наибольший перепад значений  $U_3$  наблюдается при циклах кройки в

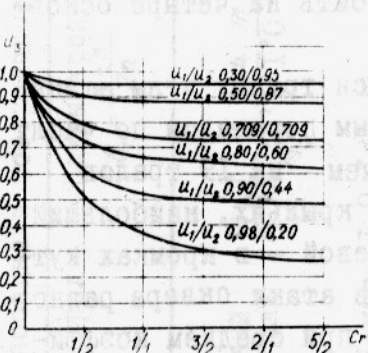


Рис.3. График зависимости коэффициента посадки наклонной сетной кромки  $U_3$  от цикла раскроя

Приведенные формулы (5) и (5') и графики 2, 3 позволяют находить требуемый коэффициент посадки по наклонной кромке сетного полотна орудия лова, когда заданы горизонтальный и вертикальный коэффициенты посадки и известен цикл кройки, и определять цикл кройки сетного полотна, когда известны коэффициенты посадки его кромок.

Например, зная коэффициент посадки по гужу и циклы раскроя

крыльев и мотни трала, по формуле (5') нетрудно определить требующиеся коэффициенты посадки по подборам, топенантам или ложилинам.

Так как из уравнения (5') следует, что

$$2C_r + 1 = \frac{U_1}{\sqrt{U_3^2 - U_2^2}}, \text{ а } U_2 = \frac{\sqrt{U_3^2(2C_r+1)^2 - U_1^2}}{2C_r + 1}$$

$$\text{и } ctg \beta = (2C_r + 1)J = \frac{U_2}{\sqrt{U_3^2 - U_2^2}} = \frac{\sqrt{U_3^2(2C_r+1) - U_1^2}}{U_1},$$

построочный угол атаки сетного полотна с учетом коэффициента посадки по наклонной кромке  $U_3$  будет равен

$$\beta = \arctg \frac{\sqrt{U_3^2 - U_2^2}}{U_2}, \quad (6)$$

или

$$\beta = \arctg \frac{U_1}{\sqrt{U_3^2(2C_r+1) - U_1^2}}. \quad (6')$$

Построочные углы атаки траолов, применяемые промышленностью

В практике изготовления тралывающих орудий лова диапазон колебания построочных углов атаки довольно значителен.

Данные анализа 40 траолов, используемых промышленностью, приведены в табл.3.

Выбранные для анализа тралы по характеру сочетаний и изменений построочных углов атаки можно разбить на четыре основные группы.

К первой, наибольшей группе относятся тралы, углы атаки которых постепенно уменьшаются (с различным перепадом по числу градусов) от крыльев до кутка трала. Причем из 19 траолов этой группы 12 имеют нулевой угол атаки в крыльях, наибольший - в сквере или в первой части мотни и нулевой - в кромках кутка. Среднеарифметическое построочных углов атаки сквера равно  $15^{\circ}20'$ , а в последней части мотни -  $6^{\circ}30'$  при среднем коэффициенте уклона

$$J_{cp} = \frac{U_2}{U_1} = 2,053.$$

Таблица 3

Раскрой, посадка и построечные углы атаки траолов различных типов, применяемых промышленностью

Исследуемый траул	Циклы кройки $C_r = \frac{m-n}{2n}$	Углы резания $\alpha = \arctg \frac{m}{n}$	Коэффициенты посадки уклона $\frac{U_2}{U_1}$ $J = \frac{U_2}{U_1}$	Углы уклона $\alpha' = \arctg \left( \frac{m}{n} \cdot J \right)$	Построочные углы атаки $\beta = 90^\circ - \alpha'$
Первая группа					
Разноглубинный 36-метровый для СРТР-540	$\frac{m}{0}; \frac{1}{4}, \frac{1}{1}, \frac{3}{1}, \frac{4}{1}, \frac{m}{0}$	$90^\circ; 56^\circ 19'; 71^\circ;$ $34^\circ; 80^\circ 52'; 83^\circ 40';$ $90^\circ$	$0,89/0,45$ $1,933$	$90^\circ; 70^\circ 53'; 80^\circ 30';$ $0^\circ; 19^\circ 07'; 9^\circ 30';$ $85^\circ 46'; 86^\circ 42'; 90^\circ$	$4^\circ 14'; 3^\circ 18'; 0^\circ$
Сардиний 31-мет- ровый для БМРТ	$\frac{1}{2}, \frac{0}{n}, \frac{1}{2}, \frac{1}{1}, \frac{m}{0}$	$63^\circ 30'; 45^\circ; 63^\circ 30',$ $71^\circ, 34, 90^\circ$	$0,8/0,60$ $1,331$	$69^\circ 26'; 45^\circ; 69^\circ 26';$ $20^\circ 34'; 45^\circ; 20^\circ 34';$ $75^\circ 58'; 90^\circ$	$14^\circ 02'; 0^\circ$
Придонный 19-мет- ровый для РБ-80	$\frac{m}{0}, \frac{1}{8}, \frac{1}{4}, \frac{1}{3}, \frac{1}{2}, \frac{1}{1}, \frac{5}{1}, \frac{m}{0}$	$90^\circ; 51^\circ 20'; 56^\circ 19';$ $0,87/0,49$ $59^\circ 02'; 63^\circ 30';$ $71^\circ 34'; 84^\circ 48'; 90^\circ$	$1,775$	$90^\circ, 65^\circ 44'; 69^\circ 26';$ $0^\circ; 24^\circ 16'; 20^\circ 20';$ $71^\circ 20'; 74^\circ 19';$ $79^\circ 24'; 87^\circ 04'; 90^\circ$	$18^\circ 40'; 15^\circ 41';$ $10^\circ 36'; 2^\circ 56'; 0^\circ$
Польский 22-мет- ровый	$\frac{27}{1}, \frac{1}{4}, \frac{1}{2}, \frac{5}{4}, \frac{m}{0}$	$88^\circ 57'; 56^\circ 19';$ $63^\circ 30'; 74^\circ 03'; 90^\circ$	$0,88/0,47$ $1,870$	$89^\circ 27'; 70^\circ 27';$ $75^\circ 06'; 81^\circ 20'; 90^\circ$	$00^\circ 33'; 19^\circ 33';$ $14^\circ 54'; 8^\circ 40'; 0^\circ$
Симметричный 43,6-метровый для двух логгеров	$\frac{m}{0}, \frac{1}{2}, \frac{1}{4}, \frac{1}{2}, \frac{1}{5}, \frac{m}{0}$	$90^\circ; 63^\circ 30'; 85^\circ 16';$ $0,94/0,35$ $90^\circ; 56^\circ 19'; 90^\circ$	$2,760$	$90^\circ, 75^\circ 40'; 76^\circ 25';$ $79^\circ 40'; 88^\circ 07'; 90^\circ$	$0^\circ 10^\circ 20'; 13^\circ 35';$ $10^\circ 20'; 13^\circ 35';$ $10^\circ 20'; 1^\circ 53'; 0^\circ$
Вторая группа					
Разноглубинный 91-метровый для БМРТ	$\frac{m}{0}, \frac{1}{4}, \frac{3}{2}, \frac{m}{0}, \frac{1}{4}, \frac{1}{2}, \frac{1}{1},$ $\frac{1}{1}, \frac{m}{0}$	$90^\circ, 56^\circ 19'; 75^\circ 58';$ $90^\circ, 56^\circ 19'; 71^\circ 34';$ $0,87/0,50$ $63^\circ 30'; 71^\circ 34'; 90^\circ$	$1,775$	$90^\circ, 69^\circ 26'; 81^\circ 59';$ $90^\circ; 69^\circ 26'; 79^\circ 24';$ $74^\circ 19'; 79^\circ 24'; 90^\circ$	$0^\circ, 20^\circ 34'; 8^\circ 01'; 0^\circ;$ $20^\circ 34'; 10^\circ 36'; 15^\circ 41';$ $10^\circ 36'; 0^\circ$

Продолжение табл.3

Исследуемый трапл	Циклы кройки $C_r = \frac{m-n}{2n}$	Углы резания $\alpha = \arctg \frac{m}{n}$	<u>Коэффициенты</u> посадки уклона $U_2/U_1$ , $J = \frac{U_2}{U_1}$	Углы уклона $\alpha' = \arctg \left( \frac{m \cdot J}{n} \right)$	Построочные углы атаки $\beta = 90^\circ - \alpha'$
Вторая группа					
Придонный 24,2-метровый для СРТР-540	$\frac{m}{0}, \frac{1}{2}, \frac{1}{4}, \frac{3}{4} + 2\frac{1}{5}$	$63^\circ 30; 56^\circ 19;$ $55^\circ 24; 63^\circ 30;$ $59^\circ 02; 90^\circ,$ $84^\circ 17$	$0,87/0,50$ I,775	$74^\circ 19; 69^\circ 26; 68^\circ 41;$ $74^\circ 19; 71^\circ 20; 90^\circ,$ $86^\circ 47$	$15^\circ 41; 20^\circ 34;$ $21^\circ 19; 15^\circ 41;$ $18^\circ 40; 0^\circ, 3^\circ 13$
Третья группа					
Польский 24-метровый	$\frac{1}{3}, \frac{1}{2}, \frac{1}{4}, \frac{1}{2}, \frac{1}{1}, \frac{1}{2}, \frac{m}{0}$	$61^\circ, 56^\circ, 19;$ $63^\circ 30; 71^\circ 34;$ $63^\circ 30; 90^\circ$	$0,88/0,47$ I,870	$73^\circ 29; 70^\circ 27; 75^\circ 06;$ $80^\circ 52; 75^\circ, 90^\circ$	$16^\circ 31; 19^\circ 33;$ $14^\circ 54; 9^\circ 58;$ $14^\circ 54; 0^\circ$
Придонный 21-метровый для РБ-80	$\frac{m}{0}, \frac{1}{2}, \frac{m}{0}$	$90^\circ, 63^\circ 30;$ $90^\circ$	$0,92/0,40$ 2,36	$90^\circ, 78^\circ, 90^\circ$	$0^\circ; 12^\circ; 0^\circ$
Польский 31/27-метровый	$\frac{1}{1}, \frac{1}{2}, \frac{m}{0}$	$71^\circ 34; 63^\circ 30;$ $90^\circ$	$0,32/0,40$ 2,36	$82^\circ 54; 78^\circ 05; 90^\circ$	$8^\circ 06; II^\circ 55; 0^\circ$
Немецкий для куттера I40 л.с.	$\frac{m}{0}, \frac{1}{2}, \frac{m}{0}$	$90^\circ, 63^\circ 30; 90^\circ$	$0,91/0,42$ 2,16I	$90^\circ; 77^\circ; 90^\circ$	$0^\circ; 13^\circ; 0^\circ$
Четвертая группа					
Английский донный 24-метровый грэнтона	$\frac{m}{0}, \frac{1}{2}, \frac{1}{4}, \frac{m}{0}$	$90^\circ, 63^\circ 30,$ $56^\circ 19, 90^\circ$	$0,83/0,56$ I,48	$90^\circ, 71^\circ 20; 65^\circ 44;$ $90^\circ$	$0^\circ; 18^\circ 40;$ $24^\circ 16; 0^\circ$
Донный сельдяной 80-футовый для РТ	$\frac{1}{2}, \frac{1}{3}, \frac{1}{4}, \frac{1}{5}, \frac{m}{0}$	$63^\circ 30, 59^\circ 02,$ $56^\circ 19, 54^\circ 30, 90^\circ$	$0,91/0,41$ 2,16I	$77^\circ, 74^\circ 13; 72^\circ 51,$ $71^\circ 48, 0^\circ$	$0^\circ; 13^\circ; 15^\circ 47;$ $17^\circ 09; 18^\circ 12; 0^\circ$

Во вторую группу входят 12 траолов, у которых при общей тенденции уменьшения построечных углов атаки к кутку имеются так называемые скачки, дающие не соответствующие общей тенденции увеличения углов атаки в отдельных частях мотни.

К третьей группе относятся 7 траолов, имеющих нулевой или близкий к нему построечный угол атаки крыльев, угол атаки  $\beta = 12^\circ \pm 15^\circ$  (при цикле раскрова  $C = \frac{1}{2}$  и коэффициенте уклона  $J = 3,0 \pm 2,0$ ) на протяжении всей длины траала по скверу и мотне и нулевой угол в кутке траала.

К четвертой, самой малочисленной группе относятся тралы, у которых построечный угол атаки по всей длине от крыльев до кутка увеличивается.

Результаты анализа дают возможность заключить, что в практике изготовления траолов имеются два основных направления: I) постепенное уменьшение построечных углов атаки от максимального в сквере ( $\beta = 15^\circ$ ) до минимального при входе в куток ( $\beta = 6^\circ$ ); 2) сохранение постоянного построечного угла атаки и соответствующих ему цикла раскрова и коэффициента уклона вдоль всей длины траала от крыльев до прямой части кутка ( $\beta = 12^\circ \pm 15^\circ$ ).

Чтобы определить, какое из этих двух направлений в технологии изготовления сетных частей траала более рационально, необходимо сопоставить данные анализа с имеющимися теоретическими и экспериментальными данными. Если допустить, что у тралирующих орудий топенантная кромка представляет собой прямую, а не ломаную линию, во избежание образования сетных мешков в местах излома необходимо сохранять постоянный построечный угол атаки  $\beta$  по всей длине продольной кромки, что возможно лишь при стабильных цикле раскрова и коэффициентах посадки.

#### Рациональный способ формирования сетной поверхности

Образующаяся в процессе лова пространственная (рабочая) форма сетного орудия зависит от многих взаимосвязанных факторов: гидродинамического давления, скорости буксировки (или течения), оснастки, грунта, вылова рыбы и т.п., сводящихся к соотношению гидродинамических и статических сил, действующих на орудия лова.

При свободной фильтрации воды под действием в основном гидродинамического давления сетное полотно орудия лова стремится принять форму с минимальной поверхностью, т.е. форму

тела вращения, а его кромки приобретают криволинейные контуры.

Исходная форма сетного полотна, например, траловых срудий близка к прямому круговому конусу, который затем под влиянием оснастки и распорных досок трансформируется в эллиптический. Это подтверждается подводными наблюдениями, испытаниями орудий лова и их моделей в бассейнах, гидроканалах, в аэродинамических трубах и т.д., а также аналитическими исследованиями (Попов, 1955, Сучков, 1971).

Исходная форма сетного полотна орудия лова в процессе его изготовления зависит от способа раскрова и посадки. Чаще всего применяют два способа:

1) постоянные цикл кройки и коэффициент посадки

$$C_r = \text{const}; U_1, U_2 = \text{const};$$

2) постоянный цикл кройки и переменный коэффициент посадки  $C_r = \text{const}; U_1, U_2 \neq \text{const}$ .

Первым способом изготавливают тралы, ставные и закидные неводы, ловушки, дрифтерные сети и т.п. Постоянным циклом выкраивают прямоугольные, трапециевидные, треугольные сетные фигуры, которые с постоянным коэффициентом сажают на подборы и пожилины.

Вторым способом изготавливают конусные мешки или кутки неводов, тралирующих орудий лова, ловушек и т.п. При этом обычно выкраивают (из одного или нескольких полос дели) прямоугольное сетное полотно нужных размеров, одну сторону полотна сажают на подбору или присоединяют к другой части орудия с заданным коэффициентом посадки  $U_1$ , а противоположную - с другими коэффициентами  $U'_1$  ( $U'_1 \neq U_1$ ) или собирают в жгут (рис.4).

Однако оба эти способа имеют существенные недостатки. Они не обеспечивают, во-первых, требуемой сетной поверхности орудия с заданными размерами и формой ячей (второй способ часто дает сетную поверхность с так называемой слепой ячей, вследствие чего снижается уловистость орудия лова, увеличивается расход сетематериалов и повышается сопротивление движению в воде), а во-вторых, - соответствия фактической формы изготовленного орудия лова его проектной форме (особенно в тех случаях, когда поверхность орудия лова близка к сетной поверхности вращения, как это имеет место у тралирующих орудий). А от фор-

мы орудия лова, его параметров в той или иной степени зависят все технико-эксплуатационные показатели.

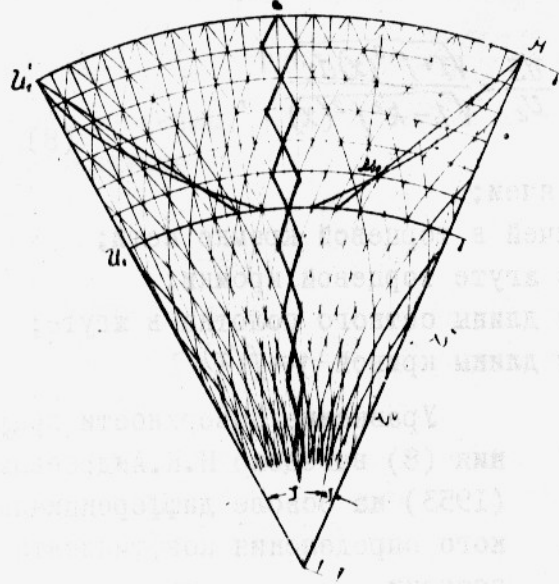


Рис.4. Сетное полотно орудия лова с дифференциально изменяющимся коэффициентом посадки

ми коэффициентов посадки по всему траалу и числа ячей в попечных рядах (рис.5).

Как свидетельствуют результаты аналитических исследований и их экспериментальная проверка, единственным рациональным путем формирования поверхности тралирующих орудий лова является дифференциальное увеличение размера ячеи сетного полотна от кутка до крыльев пропорционально длине образующей (топенантту) и уменьшение размера ячей крыльев от гужа до сборочной в соответствии с их длиной при сохранении постоянны-

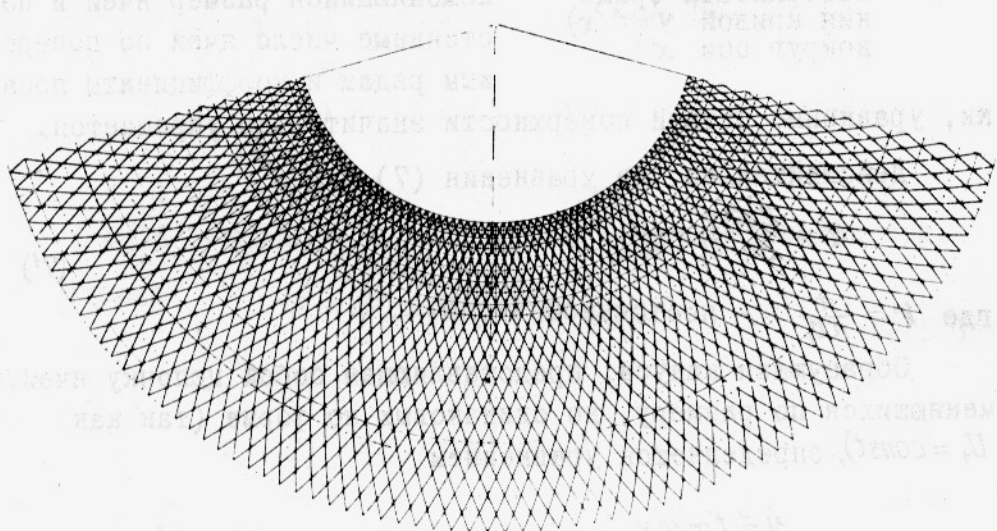


Рис.5. Развёртка мотни цельновязанного траала

Допустим, сетная поверхность образована вращением кривой  $y=f(x)$  вокруг оси  $X$  (рис.6). Тогда сечение, нормальное к оси  $X$ , в какой-либо произвольно взятой точке будет иметь периметр, равный  $2\pi y = 2apU_1$ .

$$(7)$$

Откуда

$$U_1 = \frac{2\pi y}{2an} = \frac{2\pi y}{L_o} = k \cdot y; \quad U_2 = \sqrt{1 - (ky)^2};$$

$$U_2 = \frac{ds}{dL}; \quad dL = \frac{ds}{U_2} = \frac{\sqrt{1 + f'^2(x)} dx}{\sqrt{1 - k^2 f^2(x)}}, \quad (8)$$

где

$a$  - размер ячей;

$n$  - число ячей в торцевой кромке сети;

$$k = \frac{2\pi}{L_o}, \quad L_o - \text{длина в жгуте торцевой кромки};$$

$dL$  - элемент длины сетного полотна в жгуте;

$ds$  - элемент длины кривой  $y = f(x)$ .

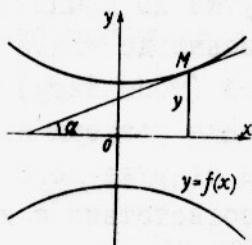


Рис.6. Образование сетевой поверхности вращения кривой  $y=f(x)$  вокруг оси  $x$

Уравнение сетной поверхности значительно упрощается.

Действительно, из уравнения (7) имеем

$$a = \frac{2\pi \cdot y}{2n \cdot U_1} = \frac{\pi}{n \cdot U_1} \cdot y = k'y \quad (7')$$

где  $k' = \frac{\pi}{n U_1}$  - постоянное число.

Образующая конуса, представляющая собой цепочку ячей, изменяющихся по размеру, но одинаковых по форме (так как  $U_1 = \text{const}$ ), определяется уравнением

$$y = t g \varphi x, \quad \text{или} \quad y = \sin \varphi \cdot L,$$

где  $\varphi$  - половина угла конусности, или так называемый исходный угол атаки сетного полотна трала;

$L$  - длина образующей конуса (сумма продольных диагоналей цепочки ячей).

Подставив значение  $y = \sin \varphi \cdot L$  в уравнение (7'), получим

$$\alpha = \frac{\pi \cdot \sin \varphi}{n U_i} \cdot L \quad (9)$$

или  $a_i = k' L_i$  где  $k' = \frac{\pi \cdot \sin \varphi}{n U_i} = \text{const}$ .

Измененный размер ячей в каждом последующем ряду будет определяться как

$$\Delta a_i = k' \Delta L_i,$$

где

$$\Delta L_i = 2 a_i \cdot U_2$$

$$\text{или } \Delta a_i = k' \cdot 2 a_i \cdot U_2 = \eta a_i \quad (10)$$

$$\text{где } \eta = 2 k' \cdot U_2 = \frac{2\pi \cdot \sin \varphi}{n} \cdot \frac{U_2}{U_i} = \frac{2\pi \sin \varphi}{n} \cdot J.$$

Поскольку боковая поверхность траллирующего орудия, имеющего исходную форму прямого кругового конуса, развертывается на плоскость в виде кругового сектора с углом, определяемым по формуле  $\beta' = \frac{R}{L} \cdot 360^\circ$

его построенный угол атаки

$$\beta = \frac{\beta'}{2} = \frac{R}{L} \cdot 180^\circ = \sin \varphi \cdot 180^\circ$$

$$\text{или } \beta_{\text{рад.}} = \pi \cdot \sin \varphi, \quad (II)$$

где  $R$  - радиус окружности основания конуса;

$L$  - образующая конуса;

$\varphi$  -  $\frac{1}{2}$  угла конусности, или исходный угол атаки сетного полотна;

$\beta$  - построенный угол атаки;

$\beta' = 2\beta$  - угол развертки конуса - кругового сектора.

$$\text{Отсюда } \varphi = \arcsin \left( \frac{\beta_{\text{рад.}}}{\pi} \right). \quad (II)$$

Так как

$$\Delta a_i = a_i - a_{i-1} = h \cdot a_i,$$

$$a_{i-1} = a_i (1-h) = h' a_i$$

(II)

$$\text{где } h' = 1 - 2 \beta_{\text{рад.}} \frac{J}{n} = 1 - \frac{2\pi \cdot \sin \varphi}{n} \cdot J = \text{const};$$

$a_i$  - размер ячей данного ряда конусной сетной поверхности;

$a_{i-1}$  - размер ячей следующего ряда.

Изготовленные этим способом разноглубинные цельновязан-

ные трахи для РТМС во время промысловых испытаний в Центральной и Юго-Восточной Атлантике в 1974/75 г. показали хорошие технико-эксплуатационные качества.

### Выводы

1. Каждому циклу раскрова соответствует определенный угол резания (вязания) и, наоборот, каждому углу резания - свой цикл раскрова, т.е.

$$C_r = \frac{1}{2} (\operatorname{tg} \alpha - 1), \quad \alpha^\circ = \arctg (2C_r + 1).$$

2. Построочный угол атаки сетного полотна орудия лова является функцией цикла кройки и коэффициентов посадки и находится из уравнения

$$\beta^\circ = \arccos [ (2C_r + 1) \cdot J ] , \quad \text{где } J = \frac{U_2}{U_1} .$$

3. Коэффициент посадки по любой наклонной кромке сетного полотна орудия лова рассчитывается по формуле

$$U_3 = \sqrt{U_2^2 + \left( \frac{U_1}{2C_r + 1} \right)^2} .$$

4. В практике изготовления тралирующих орудий лова наиболее часто применяются построочные углы атаки  $\beta = 12^\circ \pm 15^\circ$ . Во избежание образования сетных мешков необходимо сохранить постоянным угол атаки  $\beta$  на всем протяжении продольной (шивной) кромки траха, т.е. сохранить постоянными цикл раскрова и коэффициенты посадки в соответствии с формулой

$$\beta^\circ = \arctg \frac{U_1}{\sqrt{U_3^2 (2C_r + 1) - U_1^2}} .$$

5. Если допустить, что исходная форма тралирующих орудий представляет собой прямой круговой конус, у которого сетное полотно имеет дифференциально изменяющийся размер ячей, постоянное их число по поперечным рядам и постоянный коэффициент посадки, то поверхность сетного полотна  $a = \frac{\pi \sin \varphi}{n U_1} \cdot L$

построочный угол атаки  $\beta = \frac{R}{L} \cdot 180^\circ$ , исходный угол атаки  $\varphi^\circ = \arcsin \left( \frac{\beta_{\text{рад}}}{\pi} \right)$

6. Полное соответствие фактической формы сетного полотна его проектной форме обеспечивается дифференциальным изменением размера ячей как в мотенной, так и в крыловой части. Размер ячей в каждом поперечном ряду сетной поверхности траха рассчитывается по формуле

$$a_i = \frac{\pi \cdot \sin \varphi}{n \cdot U} \cdot L, \quad \text{где } h' = 1 - \frac{2\beta \cdot \operatorname{rad} \varphi}{n}.$$

Этот способ изготовления тралирующих орудий лова наиболее рационален.

### Л и т е р а т у р а

- Алексеев Н.И. О кройке сети на поверхности вращения. - "Бюллетень ВНИРО", 1961, №4/18, с.12-14.
- Алексеев Н.И. Формула для определения циклов резки сетного полотна при кройке на криволинейные контуры. - "Рыбное хозяйство", 1964, № 8, с.44-46.
- Андреев Н.Н. Дифференциальное определение посадочного коэффициента. - "Труды Мосрыбвтуза", 1953, вып.5, с.69-77.
- Андреев Н.Н. Расчет фигурной кройки подъемных дорог ставных неводов. - "Труды ВНИРО", 1959, т.XXXУП, с.148-160.
- Андреев Н.Н. Уравнение поверхности сетного полотна, прикрепленного к двум обручам. - "Труды Калининградского рыбвтуза", 1960, вып.XI, с.15-28.
- Андреев Н.Н. Выбор величины посадочного коэффициента. - "Труды Калининградского рыбвтуза", 1962, вып.XII, с.25-90.
- Андреев Н.Н. Три задачи из теории посадки сетного полотна. - "Труды ВНИРО", 1962, т.XLУП, с.137-143.
- Баранов Ф.И. Техника промышленного рыболовства. М., Пищепромиздат, 1960, 695 с.
- Войниканис-Мирский В.Н. Техника промышленного рыболовства. М., Гизлегпищeprom, 1953, 386 с.
- Войниканис-Мирский В.Н. Учет посадки при определении сопротивления сетей движению в воде. - "Рыбное хозяйство", 1952, № 9, с.55-56.
- Зонов А.И. К расчету формы рыболовных сетей. - "Научно-технический бюллетень ВНИОРХ", 1957, с.70-76.
- Попов Б.А. О подъемной силе сети, помещенной в поток. - "Труды ВНИРО", 1955, с.146-154.

Старовойтov П.А. Посадка сетей в тралах. - "Материалы сессии Ученого совета ПИНРО по результатам исследований в 1962-1964 гг." М., Пищепромиздат, 1964, с.209-217.

Суцков А.И. Аналитическое исследование взаимосвязи оптимальной (естественной) формы и гидромеханических свойств тралообразных сетей и их влияние на эксплуатационные качества орудий лова. М., изд. ВНИРО, 1971, 31 с.

Трещев А.И. Теоретические основы лова рыбы разноглубинным тралом. - "Труды ВНИРО", 1957, т.ХХХУШ, с.24-36.

Фридман А.Л. Об особенностях сопротивления рыболовных сетей. - "Рыбное хозяйство", 1967, №6, с.38-40.

Tauti, M.; Miura, T.; Sugii, K. Resistance of plane net in water. J. Imper. Fish. Inst. Vol. XXI, No.2, 1925.

Schlieker, E. Gesichtspunkte zur Frage der Anwendung randparalleler Maschen. Dt. Fischerei-Zeitung, Bd.X, Mai No.5, 1963, Berlin, 62-68.

Schmidt, K. Die Anwendung von Randparallelen im modernen Reusenbau. Dt. Fischerei-Zeitung, Bd.8, 1961, Berlin 73-79.

Kondo, I., M.Suzuki. The distribution of stress on a fishing net-II on the impact load. Bull. Jap. Soc. Sci. Fish. Vol. 26, No.6, 12-17, 1960.

Kondo, I. The distribution of stress on a fishing net-III. A study on the fishing net, a certain bar broken. Bull. Jap. Soc. Sci. Fish. vol. 27, No.1, 17-21, 1961.

## Some technological problems of making trawls

V.N. Sovetov

### Summary

One of the possibilities of increasing engineering and economic characteristics and decreasing the primary cost of fishing gear is perfection and optimization of manufacturing technology. The interrelation of hanging ratios and cycles of cutting sheets of netting and their influence on the so-called designed and working angles of attack of netting parts of the gear and rational ways of formation of the net surface are investigated.

Some formulae are suggested to estimate hanging ratios on any inclined selvedges of netting and angles of cutting with respect to cutting cycles. The relationship of the designed angle of attack and these values is ascertained. In practice, it is found that the designed angles of attack of  $12-15^\circ$  are frequently used at making fishing gear.

If it is assumed that the initial form of the trawl is a right taper with a constant hanging ratio the most efficient way is to plan the whole sheet of netting with differentially - varying mesh sizes and constant number of meshes in transversal rows. The operational and engineering properties of mid-water trawls made of a sheet of netting have proved to be good under fishing conditions.